



АС ЭНЕРГИЯ

Тиристор низкочастотный Т122-32-16



Средний прямой ток	I_{TAV}		32 А							
Повторяющееся импульсное напряжение в закрытом состоянии	U_{DRM}		100 - 1600 В							
Повторяющееся импульсное обратное напряжение	U_{RRM}									
Время выключения	t_q		63, 100, 160, 250 мкс							
$U_{DRM}, U_{RRM}, В$	100	200	400	600	800	1000	1200	1400	1600	
Класс по напряжению	1	2	4	6	8	10	12	14	16	
$T_j, ^\circ C$	- 60 ÷ 125									

ПРЕДЕЛЬНО ДОПУСТИМЫЕ ЗНАЧЕНИЯ ПАРАМЕТРОВ

Обозначение параметра	Наименование, единица измерения	Тип тиристора			Условия установления норм на параметры
		Т122-20	Т122-25	Т122-32	
U_{DRM}, U_{RRM}	Повторяющееся импульсное напряжение в закрытом состоянии и повторяющееся импульсное обратное напряжение, В, для класса: 1 2 4 6 8 10 12 14 16		100 200 400 600 800 1000 1200 1400 1600		$T_{jm} = 125 ^\circ C, t_i = 10 мс, f = 50 Гц$
U_{DSM}, U_{RSM}	Неповторяющееся импульсное напряжение в закрытом состоянии и неповторяющееся импульсное обратное напряжение, В, для класса: 1 2 4 6 8 10 12 14 16		110 220 450 670 890 1100 1300 1500 1700		$T_{jm} = 125 ^\circ C,$ импульс одиночный, $t_i = 10 мс$
U_D, U_R	Постоянное напряжение в закрытом состоянии и постоянное обратное напряжение, В	$0,6 U_{DRM} (U_{RRM})$			$T_c = 85 ^\circ C$
U_{DWM}, U_{RWM}	Рабочее импульсное напряжение в закрытом состоянии и рабочее импульсное обратное напряжение, В	$0,8 U_{DRM} (U_{RRM})$			$T_c = 85 ^\circ C$
$(dU_D/dt)_{crit}$	Критическая скорость нарастания напряжения в закрытом состоянии, В/мкс, не менее, для группы: 2 4 6 7		50 200 500 1000		$T_{jm} = 125 ^\circ C, U_D = 0,67 U_{DRM}, t_i = 200 мс$
I_{DRM}, I_{RRM}	Повторяющийся импульсный обратный ток и повторяющийся импульсный ток в закрытом состоянии, мА, не более	1,5 3,0			$T_j = 25 ^\circ C, U_D = U_{DRM}, U_R = U_{RRM}$ $T_{jm} = 125 ^\circ C, U_D = U_{DRM}, U_R = U_{RRM}$

Параметры открытого состояния

Обозначение параметра	Наименование, единица измерения	Тип тиристора			Условия установления норм на параметры
		T122-20	T122-25	T122-32	
$I_{T(AV)}$	Максимально допустимый средний ток в открытом состоянии, А	20	25	32	$T_c = 85\text{ }^\circ\text{C}$, $t_i = 10\text{ мс}$, $f = 50\text{ Гц}$
I_{TRMS}	Действующий ток в открытом состоянии, А	31	39	50	$T_c = 85\text{ }^\circ\text{C}$
I_{TSM}	Ударный ток в открытом состоянии, кА	0,30	0,35	0,45	$T_{jm} = 125\text{ }^\circ\text{C}$, $U_R = 0$, $t_i = 10\text{ мс}$, импульс одиночный
		0,33	0,38	0,49	$T_j = 25\text{ }^\circ\text{C}$, $U_R = 0$, $t_i = 10\text{ мс}$, импульс одиночный
U_{TM}	Импульсное напряжение в открытом состоянии, В, не более	1,75		1,8	$T_j = 25\text{ }^\circ\text{C}$, $I_T = 3,14 I_{T(AV)}$
$U_{T(ТО)}$	Пороговое напряжение в открытом состоянии, В	1,0			$T_{jm} = 125\text{ }^\circ\text{C}$
r_T	Динамическое сопротивление в открытом состоянии, Ом	0,012	0,0096	0,008	$T_{jm} = 125\text{ }^\circ\text{C}$
I_H	Ток удержания, мА, не более	80			$T_j = 25\text{ }^\circ\text{C}$, $U_D = 12\text{ В}$
I_L	Ток включения, мА, не более	130			$T_j = 25\text{ }^\circ\text{C}$, $U_D = 12\text{ В}$, $I_G = 3I_{GT}$, $t_G = 50\text{ мс}$
$I_{T(AV)}$	Средний ток в открытом состоянии, А (с типовым охладителем)	14	15	16	$T_a = 40\text{ }^\circ\text{C}$, естественное охлаждение, охладитель O221

Параметры переключения

Параметр	Наименование, единица измерения	Тип тиристора			Условия установления норм на параметры	
		T122-20	T122-25	T122-32		
$(di_T/dt)_{crit}$	Критическая скорость нарастания тока в открытом состоянии, А/мкс	160			$T_{jm} = 125\text{ }^\circ\text{C}$, $U_D = 0,67U_{DRM}$, $f = 1-5\text{ Гц}$, $I_T = 2I_{T(AV)}$, $I_{FG} = 3I_{GT}$, $t_G = 50\text{ мкс}$	
t_{gt}	Время включения, мкс, не более	10			$T_{jm} = 125\text{ }^\circ\text{C}$, $U_D = 100\text{ В}$, $I_T = I_{T(AV)}$, $I_{FG} = 3I_{GT}$, $t_G = 50\text{ мкс}$	
t_{gd}	Время задержки, мкс, не более	2				
Q_{rr}	Заряд восстановления, мкКл, не более	80			$T_{jm} = 125\text{ }^\circ\text{C}$, $I_T = I_{T(AV)}$, $t_i = 250\text{ мкс}$, $(di_T/dt)_f = 5\text{ А/мкс}$, $U_R = 100\text{ В}$	
t_{rr}	Время обратного восстановления, мкс, не более	6				
t_q	Время выключения по основной цепи, мкс, не более, для группы:				$T_{jm} = 125\text{ }^\circ\text{C}$, $I_T = I_{T(AV)}$, $U_D = 0,67U_{DRM}$, $U_R = 100\text{ В}$, $t_U = 200\text{ мкс}$, $du/dt = 50\text{ В/мкс}$	
		2				250
		3				160
		4				100
		5				63

Параметры управления

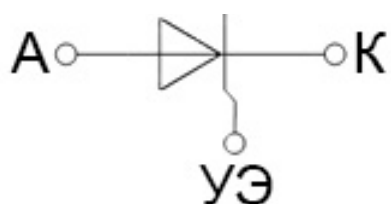
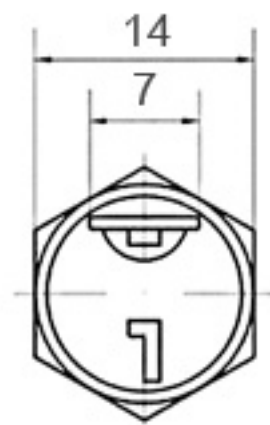
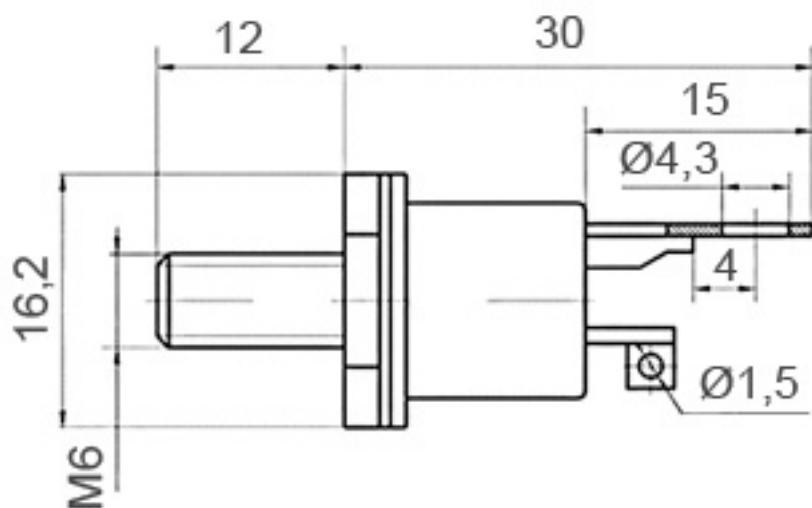
Обозначение параметра	Наименование, единица измерения	Тип тиристора			Условия установления норм на параметры
		T122-20	T122-25	T122-32	
I_{GT}	Отпирающий постоянный ток управления, мА, не более	60			$T_j = 25\text{ °C}$, $U_D = 12\text{ В}$
		140			$T_j = \text{минус } 50\text{ °C}$, $U_D = 12\text{ В}$
		160			$T_j = \text{минус } 60\text{ °C}$, $U_D = 12\text{ В}$
U_{GT}	Отпирающее постоянное напряжение управления, В, не более	2,5			$T_j = 25\text{ °C}$
		3,5			$T_j = \text{минус } 50\text{ °C}$
		4,0			$T_j = \text{минус } 60\text{ °C}$
U_{GD}	Неотпирающее постоянное напряжение управления, В, не менее	0,3			$T_{jm} = 125\text{ °C}$, $U_D = 0,67U_{DRM}$, $du_D/dt = 5\text{ В/мкс}$

Тепловые параметры

Обозначение параметра	Наименование, единица измерения	Тип тиристора			Условия установления норм на параметры
		T122-20	T122-25	T122-32	
T_{jm}	Максимально допустимая температура перехода, °C	125			
T_{jmin}	Минимально допустимая температура перехода, °C	минус 50 минус 60 для УХЛ2.1			
T_{stg}	Максимально допустимая температура хранения, °C	50 (60 для ТЗ и ОМ2.1)			
$T_{stg\ min}$	Минимально допустимая температура хранения, °C	минус 50 минус 60 для УХЛ2.1			
R_{thjc}	Тепловое сопротивление переход-корпус, °C/Вт, не более	0,55	0,45	0,4	Постоянный ток
R_{thch}	Тепловое сопротивление корпус-охладитель, °C/Вт, не более	0,2			Естествен.охлаждение. Охладитель О221. Постоянный ток
R_{thja}	Тепловое сопротивление переход-среда, °C/Вт, не более	3,9	3,80	3,75	

ГАБАРИТНЫЕ РАЗМЕРЫ

Тип корпуса: ST2



Все размеры в миллиметрах

А - анод;

К - катод;

УЭ - управляющий электрод;

Масса, не более – 11 г.

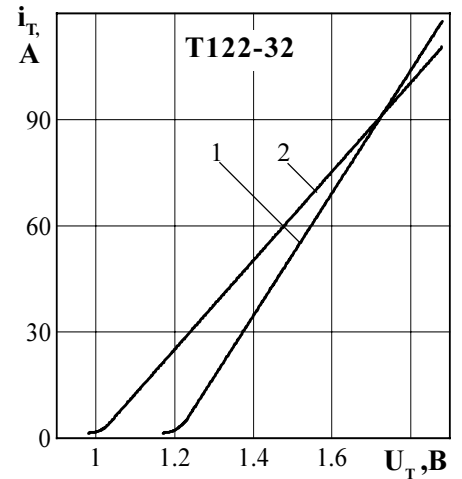
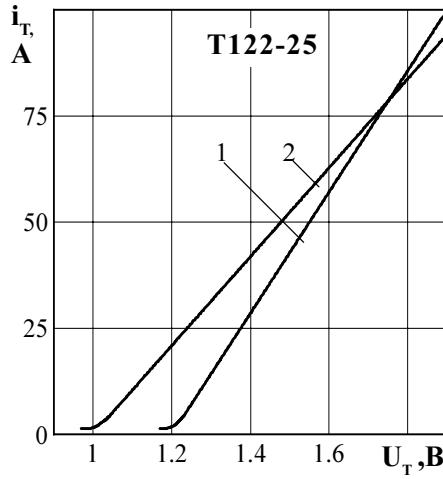
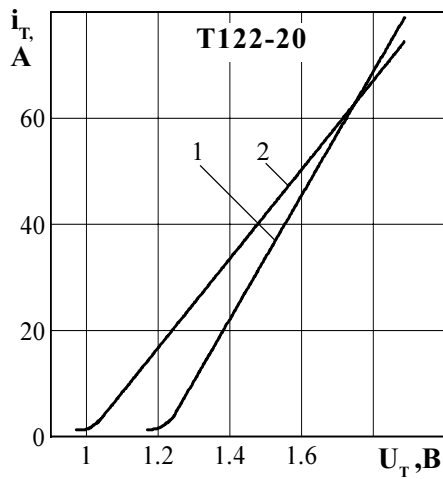


Рисунок 1 - Предельная вольтамперная характеристика в открытом состоянии при температуре перехода $25\text{ }^{\circ}\text{C}$ (1) и максимальной температуре перехода T_{jm} (2) $I_T = 3,14I_{T(AV)}$

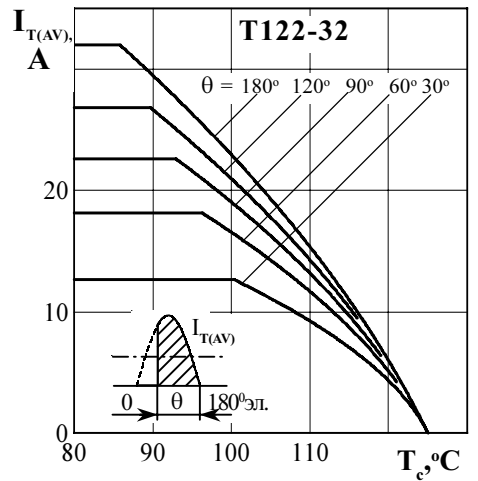
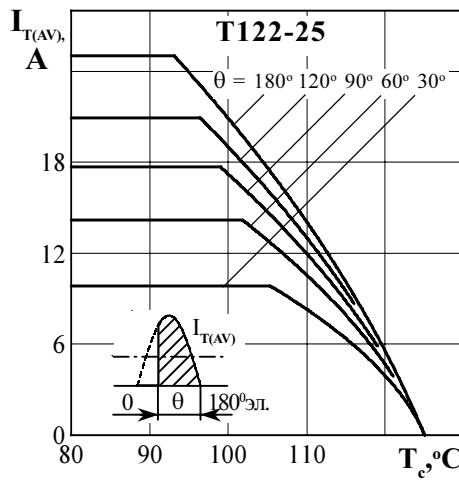
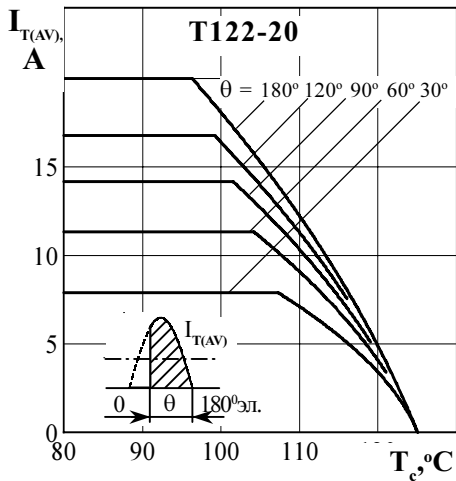


Рисунок 2 - Зависимость допустимого среднего тока в открытом состоянии $I_{T(AV)}$ от температуры корпуса T_c для токов синусоидальной формы частотой $f = 50\text{ Гц}$

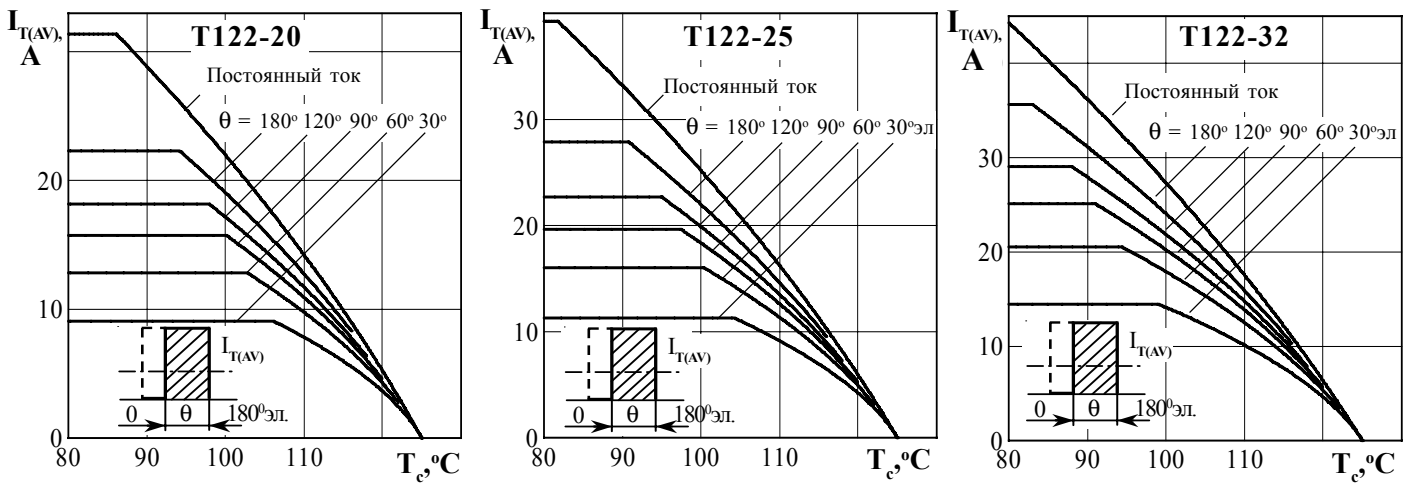


Рисунок 3 - Зависимость допустимого среднего тока в открытом состоянии $I_{T(AV)}$ от температуры корпуса T_c для токов прямоугольной формы частотой $f = 50$ Гц и постоянного тока

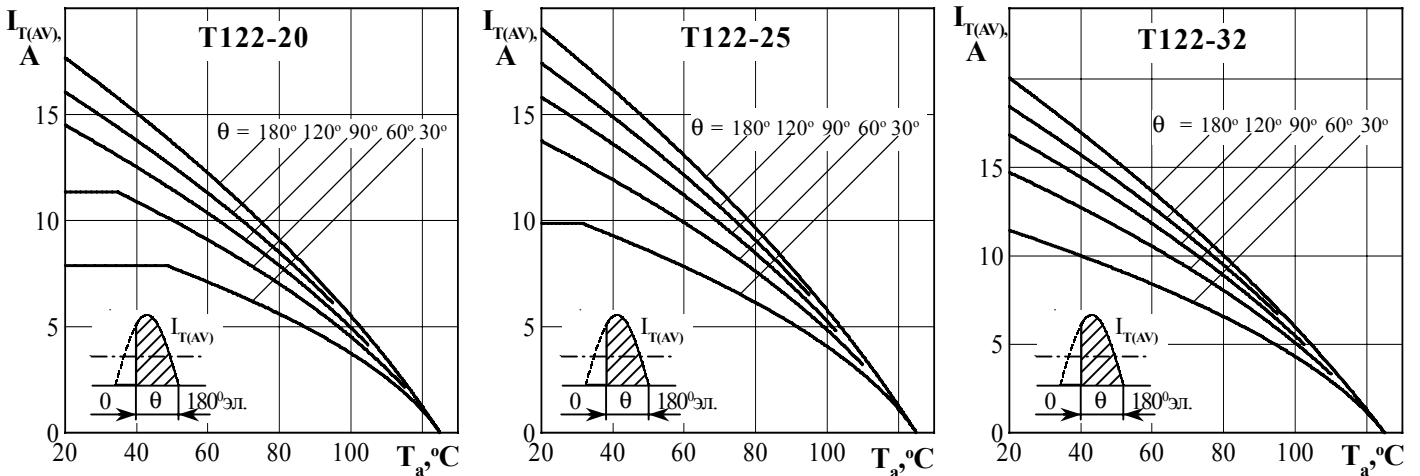


Рисунок 4 - Зависимость допустимого среднего тока в открытом состоянии $I_{T(AV)}$ от температуры окружающей среды T_a при естественном охлаждении на типовом охладителе при различных углах проводимости для токов синусоидальной формы частотой $f = 50$ Гц

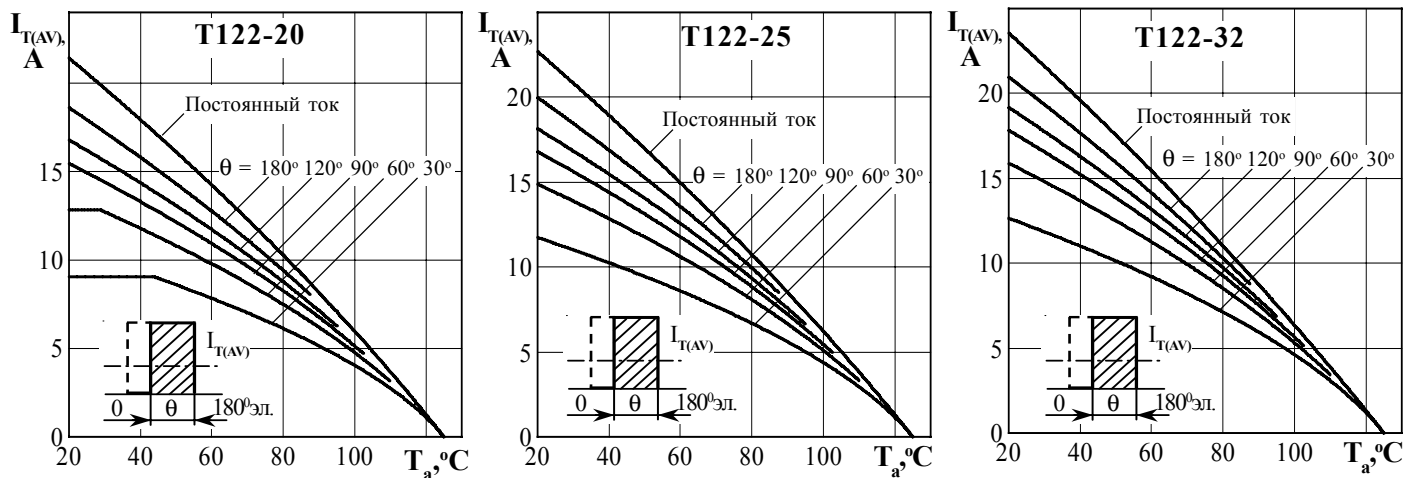


Рисунок 5 - Зависимость допустимого среднего тока в открытом состоянии $I_{T(AV)}$ от температуры окружающей среды T_a при естественном охлаждении на типовом охладителе при различных углах проводимости для токов прямоугольной формы частотой $f = 50$ Гц и постоянного тока

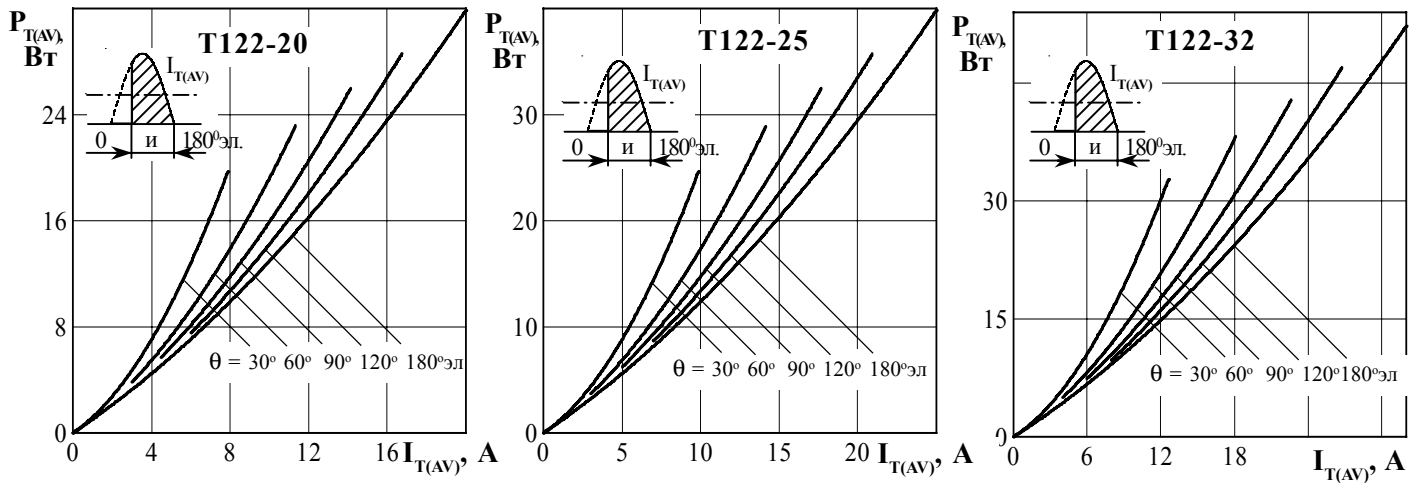


Рисунок 6 - Зависимость средней рассеиваемой мощности в открытом состоянии $P_{T(AV)}$ от среднего тока в открытом состоянии $I_{T(AV)}$ синусоидальной формы частотой $f = 50$ Гц

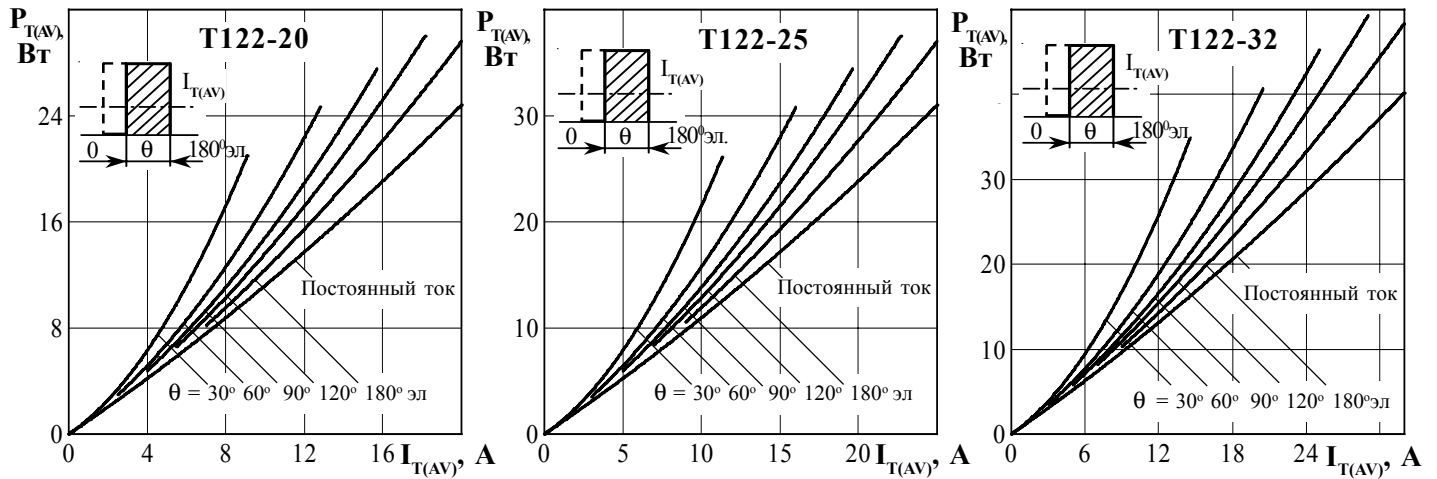


Рисунок 7 - Зависимость средней рассеиваемой мощности в открытом состоянии $P_{T(AV)}$ от среднего тока в открытом состоянии $I_{T(AV)}$ прямоугольной формы частотой $f = 50$ Гц и постоянного тока

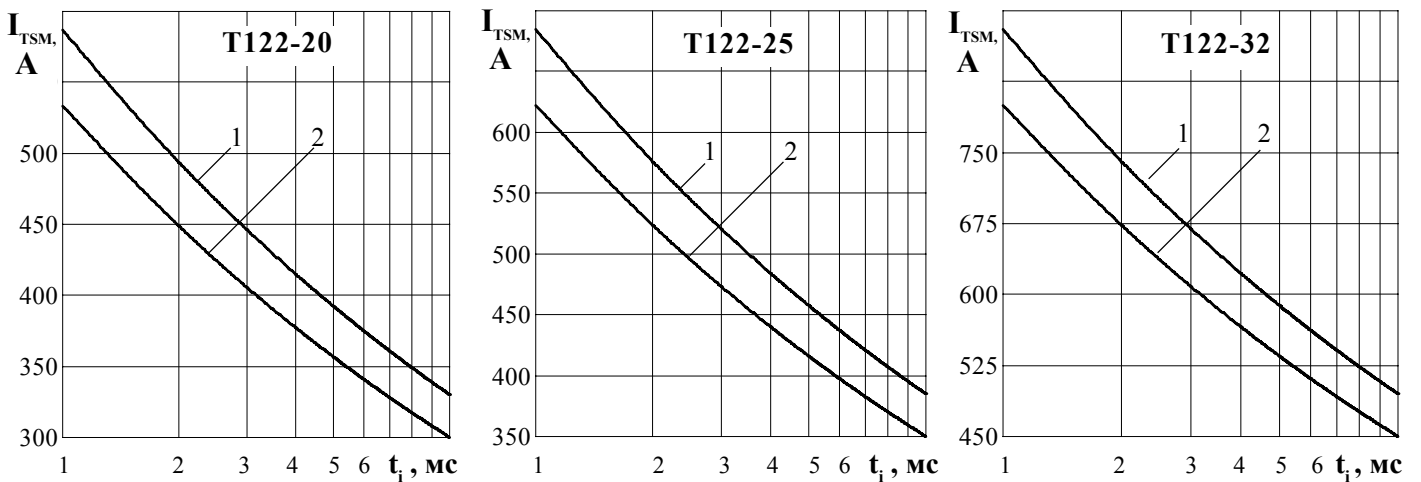


Рисунок 8 - Зависимость допустимой амплитуды ударного тока в открытом состоянии I_{TSM} от длительности импульса тока t_i при исходной температуре структуры $T_j = 25$ °C (1) и максимальной температуре T_{jm} (2)

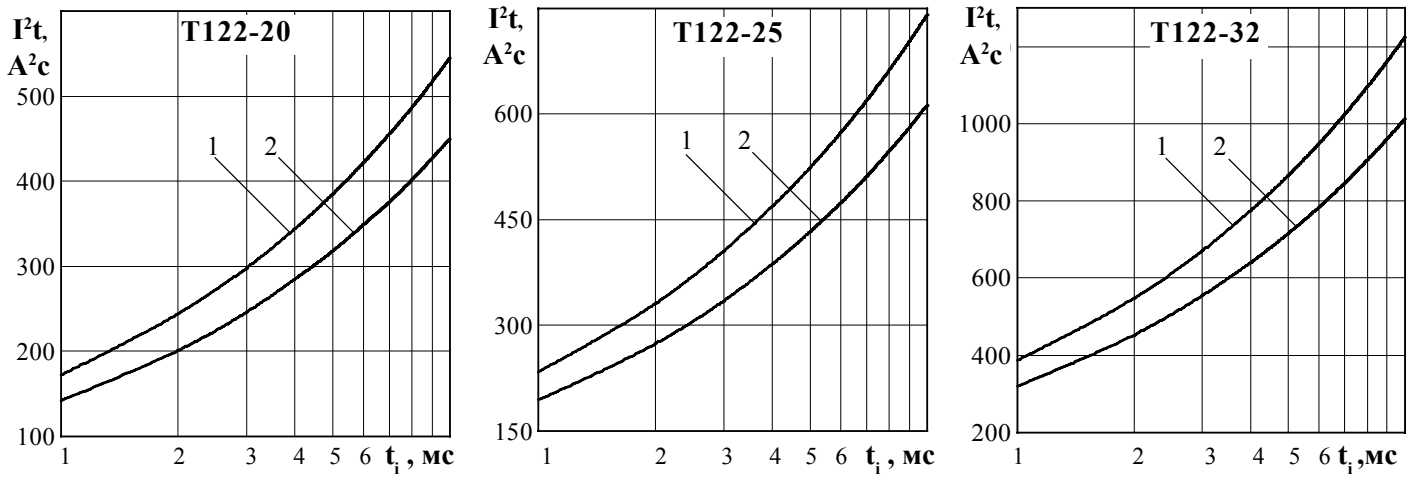


Рисунок 9 - Зависимость защитного показателя P_t от длительности импульса тока t_i при исходной температуре структуры $T_j = 25\text{ }^\circ\text{C}$ (1) и максимальной температуре T_{jm} (2)

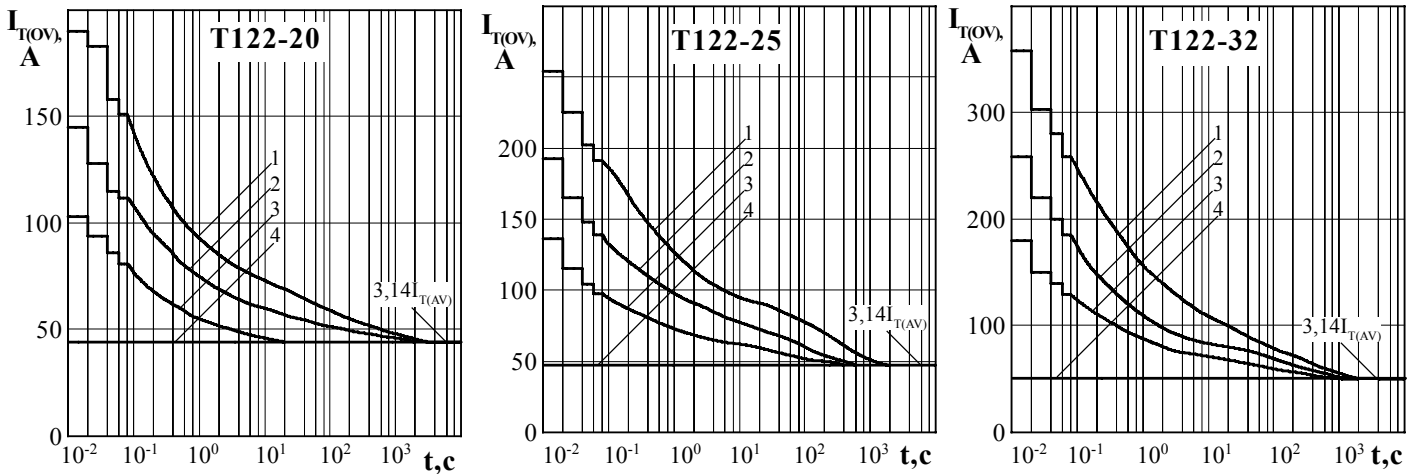


Рисунок 10 - Зависимость допустимой амплитуды тока перегрузки в открытом состоянии $I_{T(OV)}$ синусоидальной формы частотой $f = 50\text{ Гц}$ от длительности перегрузки t при температуре окружающей среды $T_a = 40\text{ }^\circ\text{C}$ и при отношении тока, предшествующего перегрузке, I_T к допустимому среднему току с охладителем $I_{T(AV)}$ равному $k = I_T / I_{T(AV)}$; $k = 0$ (1); $0,5$ (2); $0,75$ (3); $1,0$ (4).

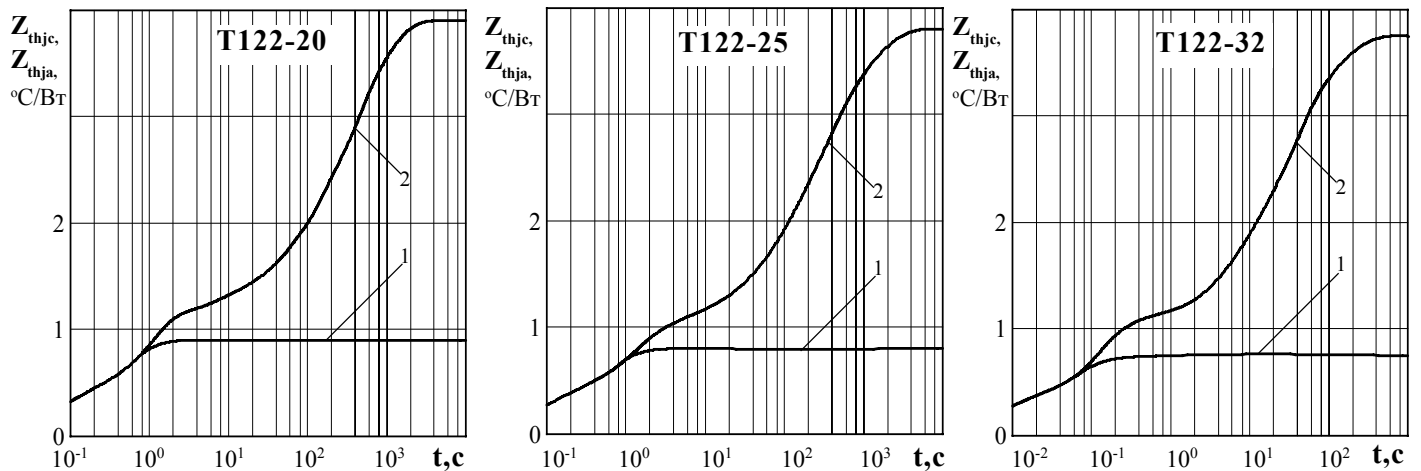
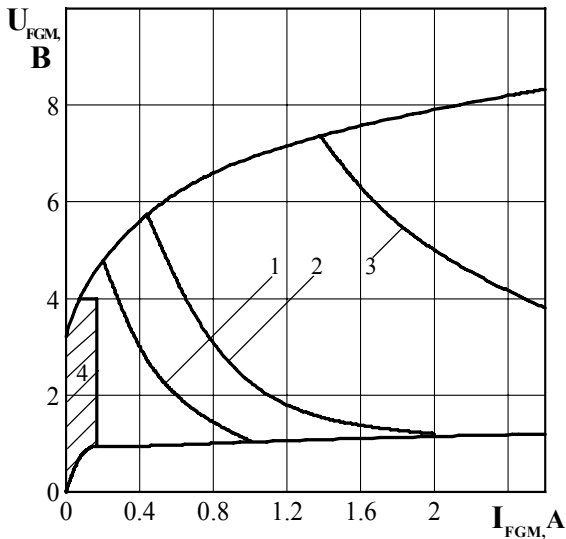


Рисунок 11 - Зависимость теплового сопротивления переход - корпус Z_{thjc} (1) и переход- среда Z_{thja} (2) от времени t при естественном охлаждении $T_a = 40\text{ }^\circ\text{C}$ на типовом охладителе



Позиция на рисунке	Скважность	Длительность импульса тока управления t_G , мс	Допустимая импульсная мощность управления, P_{FGM} , Вт
1	1	Пост.ток	1,2
2	2	10	2,4
3	10	2	10
4 - область негарантированного отпириания при $T_{im} = \text{минус } 60^\circ \text{C}$			

Рисунок 12 - Предельные характеристики цепи управления

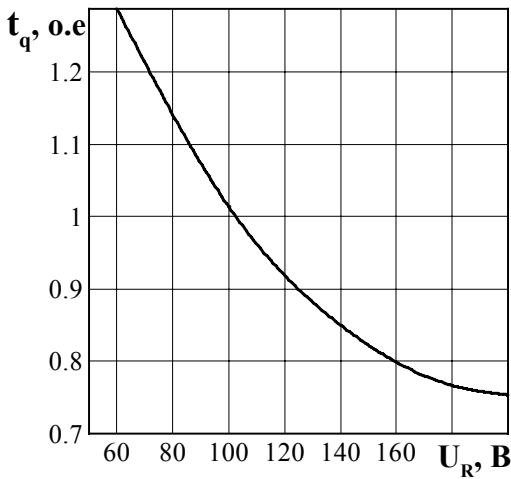


Рисунок 13 - Зависимость времени выключения t_q (о.е.) от обратного напряжения U_R при максимальной температуре перехода $T_{im} = 125^\circ \text{C}$; $I_T = I_{T(AV)}$; $(di/dt)_f = 5 \text{ A/мкс}$; $dU_D/dt = 50 \text{ В/мкс}$; $U_D = 0,67 U_{DRM}$

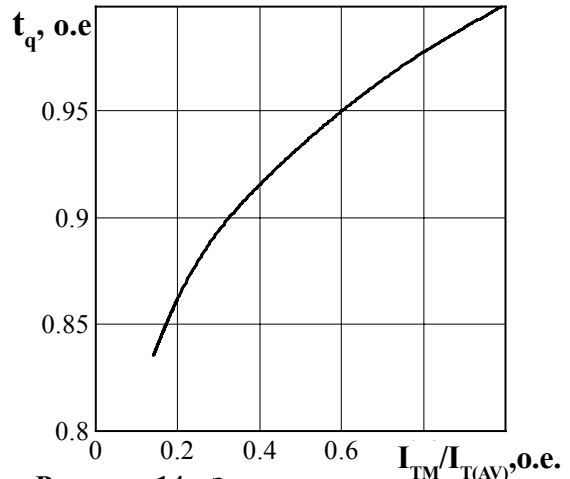


Рисунок 14 - Зависимость времени выключения t_q (о.е.) от амплитуды предшествующего тока в открытом состоянии $I_T / I_{T(AV)}$ (о.е.) при $T_{im} = 125^\circ \text{C}$; $U_R = 100 \text{ В}$; $(di/dt)_f = 5 \text{ A/мкс}$; $dU_D/dt = 50 \text{ В/мкс}$; $U_D = 0,67 U_{DRM}$

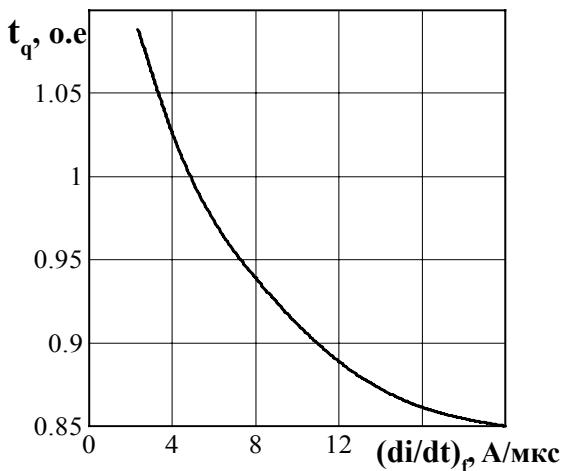


Рисунок 15 - Зависимость времени выключения t_q (о.е.) от скорости спада тока в открытом состоянии $(di/dt)_f$ при $T_{im} = 125^\circ \text{C}$; $I_T = I_{T(AV)}$; $U_R = 100 \text{ В}$; $dU_D/dt = 50 \text{ В/мкс}$; $U_D = 0,67 U_{DRM}$

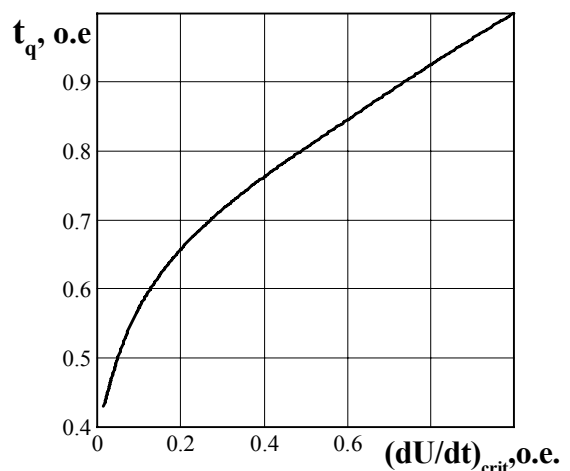


Рисунок 16 - Зависимость времени выключения t_q (о.е.) от скорости нарастания напряжения в открытом состоянии dU_D/dt при $T_{im} = 125^\circ \text{C}$; $I_T = I_{T(AV)}$; $U_D = 0,67 U_{DRM}$; $U_R = 100 \text{ В}$; $(di/dt)_f = 5 \text{ A/мкс}$

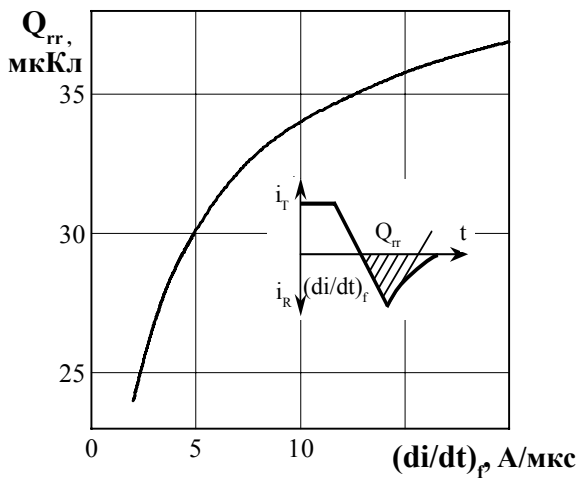


Рисунок 17 - Зависимость заряда восстановления Q_{rr} от скорости спада тока $(di/dt)_f$ в открытом состоянии при температуре перехода $T_{jm} = 125\text{ }^\circ\text{C}$, $U_{RM} = 100\text{ В}$; $I_T = I_{T(AV)}$.

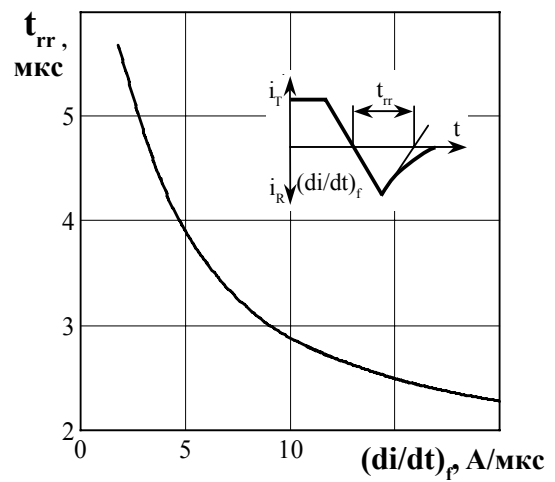


Рисунок 18 - Зависимость времени обратного восстановления t_{rr} от скорости спада тока $(di/dt)_f$ в открытом состоянии при температуре перехода $T_{jm} = 125\text{ }^\circ\text{C}$, $U_{RM} = 100\text{ В}$; $I_T = I_{T(AV)}$.

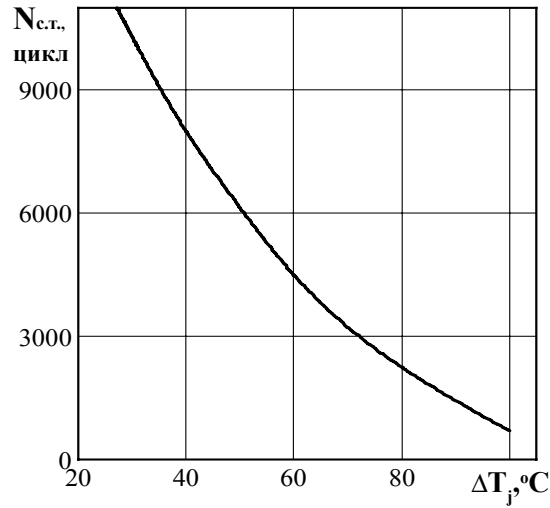


Рисунок 19 - Зависимость максимально допустимого числа циклов $N_{c.t.}$ от перепада температуры перехода ΔT_j при циклической токовой нагрузке.